3.0T 磁共振弥散加权成像在胰腺癌中的应用价值

王 健1,姚秀忠2,饶圣祥1,丁庆国1

(1, 江苏省常熟市第二人民医院放射科 江苏 常熟 215500;2. 复旦大学附属中山医放射科 上海 200032)

【摘 要】目的:分析评价在 3.0T 磁共振非脂肪抑制憋气 DWI 序列在胰腺癌中的应用价值。方法:30 例正常志愿者与 30 例经手术病理证实的胰腺癌患者,在 3.0T 磁共振上,术前行基于 SE-EPI 的非脂肪抑制憋气 DWI 序列,b 值为 0 和 600s/mm²,统计学比较分析正常胰腺、胰腺癌及远端炎症区的 ADC 值。结果:不同组织的 ADC 值从低到高依次为胰腺癌、正常胰腺、远端炎症,单因素方差分析显示不同组织的 ADC 值有明显统计学差异,F 值为 18.716,P 值为 0.0004,两 两比较分析显示胰腺癌分别与正常胰腺及远端炎症的 ADC 值统计学有明显差异,P 值分别为 0.00483 及 0.00191。结论:在 3.0T 磁共振上,非脂肪抑制憋气 DWI 序列有助于病灶筛查,其 ADC 值能够较好的反映胰腺癌、正常胰腺及远端炎症的组织病理状态。

【关键词】 胰腺癌;磁共振成像;扩散加权成像;表观弥散系数

中图分类号:R735.9;R445.2

cient

文献标识码:A

文章编号:1006-9011(2012)01-0091-03

The applied value of breath-holding diffusion-weighted MR imaging for pancreatic carcinoma at 3.0 T

WANG Jian1, YAO Xiu-zhong2, RAO Sheng-xiang1, DING Qing-guo1

- 1. Department of Radiology, Changshu No 2 Hospital, Jiangshu 215500, P.R. China
- 2. Department of Radiology, Zhongshan Hospital Affiliated to Fudan University, Shanhai 200032, P. R. China

[Abstract] Objective: The purpose of this study was to investigate the value of breath-holding diffusion-weighted MR imaging at 3.0 T in pancreatic carcinoma. Methods: 30 normal volunteers and 30 patients with pancreatic cancer proven by histopathology underwent breath-holding diffusion-weighted MR imaging without fat suppression before operation, based on SE-EPI sequence and b values = 0 and 600 s/mm². ADC values were statistically investigated and compared among pancreatic cancer, normal pancreas, and distal pancreatitis. Results: The ADC value of pancreatic cancer was the lowest, then followed by normal pancreas and distal pancreatitis, and there were statistical differences among them by ANOVA (F = 18.716, P = 0.0004); ADC value of pancreatic cancer was statistically lower than that of normal pancreas or distal pancreatitis (P = 0.00483 and P = 0.00191 respectively). Conclusion: Breath-holding DWI at 3.0 T helps to detect the lesion, and its ADC value can better disclose histopathological state in pancreatic cancer, normal pancreas and distal pancreatitis. [Key words] Pancreatic carcinoma; Magnetic resonance imaging; Diffusion weighted imaging; Apparent diffusion coeffi-

磁共振弥散加权成像(diffusion weighted imaging, DWI)是基于水分子布朗运动的不同对组织病理特征进行评价,且其成像速度快及图像后处理简单,实用性强,从而成为国内外众多学者的研究热点。另外,3.0T主磁场强度使得图像信噪比理论上比1.5T提升2倍^[13],从而成为高空间分辨率及缩短腹部成像时间的基石。然而,与1.5T磁共振比较,3.0T磁共振所带来的更大的能量沉积、磁敏感伪影、呼吸运动以及胰腺周围肠道和血管运动的敏感性使得胰腺DWI更具有挑战性。鉴于此,本研

作者简介;王健(1976-),男,江苏省常熟市人,大学本科,主治医师,主要从事放射诊断工作

究的目的旨在评价 3.0T 磁共振弥散加权成像在正常胰腺和胰腺癌中的应用价值。

1 材料与方法

1.1 临床资料

30 例正常志愿者中男 18 例,女 12 例,年龄 20 ~65 岁,平均 49.7 岁。用于正常对照。30 例临床初诊高度怀疑胰腺癌的患者中,男 17 例,女 13 例,年龄 40~75 岁,平均 59.3 岁。经手术病理证实,位于胰头癌 16 例,胰体癌 8 例,胰尾癌 6 例;用于评价3.0T 憋气 DWI 序列在胰腺癌中的应用。

1.2 检查方法

应用临床用 3.0T MR 仪 (Signa HDX, GE

Medical Systems, Milwaukee, Wis, USA 请换做 本院磁共振型号),8通道相控阵表面线圈。三平面 定位后, 先后行常规燃气横轴位 T, WI (FSPGR, TR/TE: 260/2.0ms, 翻转角 65°, 层厚 5mm, 间隔 2mm, FOV 38cm)、呼吸门控脂肪抑制横轴位 T₂WI (FRFSE, TR/TE: $3500 \sim 6100/88 \text{ms}$, ETL: 27, 层厚 5mm,间隔 2mm, FOV 38cm)、二维憋气斜冠 状位 MRCP(SSFSE, TR/TE=7 500/928ms,层厚 60mm, FOV 32cm)、呼吸门控 DWI 及三维脂肪抑 制 T1WI 平扫和动态增强扫描(LAVA, TR/TE: 3.2/1.4ms,翻转角 10°,并行采集因子 2.5, FOV 380×380mm,覆盖全部胰腺,正常志愿者不行增强 扫描,对比剂为钆喷酸葡胺(gadopentetate dimeglumine, Magnevist; Bayer Healthcare, Berlin, Germany) 0.2mmol/kg, 注射 流率 3ml/s,注射对比剂 结束后用 20ml 生理盐水用同样流速冲洗,扫描包 括动脉期、胰腺期及肝脏实质期。 燃气 DWI 具体参 数如下: b 值为 0 和 600s/mm², TR/TE: 2 300/ 52ms,并行采集因子为 2, Nex 为 4, 层厚 5mm,层 距 2mm, 带宽 250KHz, FOV 400×280mm, 矩阵 128×96, 所有受检者在行 DWI 扫描时采取仰卧位, 呼气末憋气,扫描持续时间 18s。

1.3 数据采集与分析统计

在 GE Advantage Workstation 4.3 工作站上分别测量 3.0T 磁共振 DWI 序列图像中正常胰腺、胰腺癌病灶实性区及癌灶远端炎症区的平均 ADC值,并根据需要选取圆形或椭圆形兴趣区(region of interest, ROI),既要使 ROI 尽量大,又要确实在目标组织内,避开伪影、胰腺或病灶边缘及病灶囊变坏死区。

应用 SPSS16.0 统计学软件,分析比较正常胰腺、胰腺癌、病灶邻近正常胰腺和远端炎症区的 ADC 值,数据呈正态分布及方差齐性时用单因素方差分析和 LSD 检验,方差不齐时进行数据转换或者非参数检验,以 P < 0.05 为有统计学意义。

2 结果

2.1 正常胰腺、胰腺癌及远端炎症区在 3.0T 磁共振 DWI 的信号特征分析比较

在憋气 DWI上,正常胰腺表现为不均匀信号, 边缘轮廓较清晰(图 1),胰腺癌表现为高信号,病灶 边界轮廓较清晰,邻近胰腺表现为相对低信号(图 2),远端炎症区表现为不均匀高低混杂信号(图 3)。

2.2 正常胰腺、胰腺癌及远端炎症区在 3.0T 磁共

振 DWI 上的 ADC 值分析比较

不同组织的 ADC 值从低到高依次为胰腺癌、正常胰腺及远端炎症。单因素方差分析显示不同组织的 ADC 值有明显统计学差异,F 值为 18.716,P 值为 0.0004,两两比较分析显示胰腺癌分别与正常胰腺、及远端炎症的 ADC 值统计学有明显差异,P 值分别为 P 值分别为 0.00483 及 0.00191,而正常胰腺与远端炎症之间的 ADC 值统计学无差异,见表 1。

表 1 正常胰腺、胰腺癌及远端炎症区在 3.0T 磁共振 DWI上的 ADC 值 (10⁻³ mm²/s)

部位	胰腺癌	正常胰腺	远端炎症区
ADC 值	1.65±0.27	1.79±0.24	1.95±0.53
N	30	30	24

3 讨论

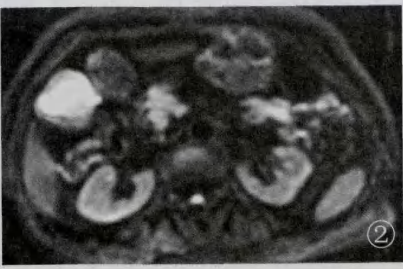
3.1 3.0T 磁共振 DWI 扫描技术在胰腺中的应用

早期的 DWI 成像时间长,多用于头颅,而在上腹部的临床应用受限。随着 MR 技术的不断发展和完善,目前己采用了多种技术,包括屏气技术、快速梯度回波、平面回波成像和并行采集等,使 DWI 在上腹部的检查中扫描时间显著缩短,并趋于成熟。近来,关于上腹部 DWI 的研究报道,其共同点都是基于三个方向弥散梯度的 SE-EPI 序列并结合并行采集,另外,为了突出病灶的对比度,部分扫描方法再融合脂肪抑制技术,后者包括频率饱和、频率翻转恢复饱和及翻转恢复技术,但是扫描时间加长,而且多在 1.5T 磁共振进行。与 1.5T 磁共振相比,3.0T 磁共振信噪比高,有利于减少扫描时间,增加图像空间分辨率。

由于胰腺不规则线性器官特征,DWI 对胰腺周围肠道和血管运动的敏感性导致伪影增加,影响病灶的检出及 ADC 值的稳定性。在本研究序列选择及优化预实验中,发现当选择频率饱和作为脂肪抑制的方法时,皮下脂肪不能完全抑制,导致相位方向的伪影与腹部脏器甚至胰腺重叠,图像质量明显下降。而单纯憋气 DWI 序列导致的伪影多为血管搏动所导致的鱼尾纹状伪影,明显优于频率饱和脂肪抑制 DWI,且扫描时间相对较短,空间分辨率较高。3.2 3.0T 磁共振 DWI 的 ADC 值在胰腺癌中的应用价值

在 1.5T 磁共振上,胰腺 DWI 中 ADC 值的测量与组织病理诊断的的相关性已多有报道。如胰腺





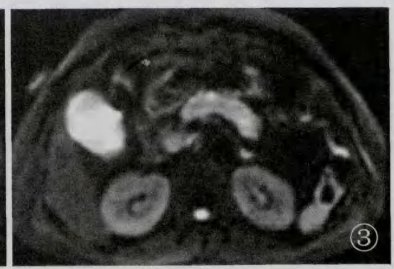


图 1 正常胰腺在憋气 DWI 序列上表现为略不均匀低信号,轮廓较清晰 图 2 胰头癌在憋气 DWI 序列表现为显著高信号,与邻近胰腺对比明显 图 3 远端炎症区在憋气 DWI 序列表现为不均匀高信号

先天单纯囊肿与简单假性囊肿与胰腺背景在 DWI 上为等信号,而脓肿、包虫囊肿及囊性肿瘤如黏液性 囊腺瘤(癌)在 DWI 上相对于胰腺背景为高信号,先 天单纯囊肿与简单假性囊肿的 ADC 值要低于脓 肿、包虫囊肿及囊性肿瘤的 ADC 值[2]。另有报道 认为导管内乳头状黏液肿瘤与其它囊性肿瘤的 ADC 值无差异[3]。胰腺癌的 ADC 值也与癌组织内 细胞及间质的成份不同而不同, 当癌细胞散在于疏 松的纤维组织内,如水肿的纤维或胶原纤维较癌细 胞及黏液成份多时,肿瘤组织的 ADC 值高于正常 胰腺组织;当致密纤维和丰富细胞堆积混杂时,肿瘤 组织的 ADC 值低于正常胰腺组织[4,5]。在本研究 中,虽然是应用 3.0T 磁共振,胰腺癌的 ADC 值低 于正常胰腺及远端炎症区,这与大部分应用 1.5T 磁共振 DWI 的文献报道相似。胰腺癌的典型组织 病理学特征为恶性细胞伴大量促结缔组织增生的间 质成份混杂侵袭性生长,由慢性胰腺炎形成的肿块 型胰腺炎的典型组织病理学特征为纤维化的肉芽组 织增生,ADC 值的降低主要依赖于这些组织中细胞 致密度的增加和大量纤维成份限制了细胞内外水分 子的布朗运动[6,7]。胰腺炎的 ADC 值报道不一致 的原因可能与胰腺炎形成过程相关,在慢性胰腺炎 急性复发形成的肿块型胰腺炎是 ADC 值因为渗出 较多而增高,在纤维成份聚集较多的肿块型胰腺炎 时,ADC 值较低[8]。本研究中,胰腺癌低于远端炎 症区的 ADC 值,主要原因可能是大部分炎症区由 于胰腺导管阻塞而处于急性期。

总之,本组研究显示,在 3.0T 磁共振上,单纯 憋气 DWI 序列能够较好地显示正常胰腺及胰腺癌; 另外,其 ADC 值的测量能够较好的反映正常胰腺、 胰腺癌及远端炎症的组织病理状态。

参考文献:

- [1] Yoshikawa T, Ohno Y, Kawamitsu H, et al. Abdominal apparent diffusion coefficient measurements; effect of diffusion-weighted image quality and usefulness of anisotropic images
 [J]. Magn Reson Imaging, 2008, 26;1415-1420.
- [2] Inan N, Arslan A, Akansel G, et al. Diffusion-weighted imaging in the differential diagnosis of cystic lesions of the pancreas [J]. AJR, 2008, 191; 1115-1121.
- [3] Irie H, Honda H, Kuroiwa T, et al. Measurement of the apparent diffusion coefficient in intraductal mucin-producing tumor of the pancreas by diffusion-weighted echo-planar MR imaging [J]. Abdom Imaging, 2002, 27; 82-87.
- [4] Muraoka N, Uematsu H, Kimura H, et al. Apparent diffusion coefficient in pancreatic cancer characterization and histopathological correlations [J]. J Magn Reson Imaging, 2008, 27: 1302-1308.
- [5] 陈高宏,姚秀忠,程伟中. 3.0T自由呼吸背景抑制弥散加权 成像在胰腺癌中的应用研究[J]. 医学影像学杂志,2011,21:873.
- [6] Rmitage PA, Schwindack C, Bastin ME, et al. Quantitative assessment of intracranial tumor response to dexamethasone using diffusion, perfusion and permeability magnetic resonance imaging [J]. Magn Reson Imaging, 2007, 25; 303-310.
- [7] Oinuma M, Ohashi I, Hanafusa K, et al. Apparent diffusion coefficient measurements with diffusion-weighted magnetic resonance imaging for evaluation of hepatic fibrosis [J]. J Magn Reson Imaging, 2005, 22; 80-85.
- [8] Fattahi R, Balci NC, Perman WH, et al. Pancreatic diffusion-weighted imaging (DWI); comparison between mass-forming focal pancreatitis (FP), pancreatic cancer (PC), and normal pancreas [J]. J Magn Reson Imaging, 2009, 29; 350-356.

(收稿日期;2011-10-11 修回日期;2011-12-07) (本文编辑:任德印)